

# تطوير مواصفات الطابوق النارى العازل المستعمل في تبطين افران الصناعة النفطية

## Development the Specifications of the light Weight fire brick

عبدالكريم دهش الزبيدي ،جامعة النهرین – كلية الهندسة

### الخلاصة:

تم في هذا البحث انتاج طابوق ناري عازل خفيف ذو مواصفات عالية من اضافة مادة فلوريد الالمنيوم (المتوفرة محليا) الى المادة الاولية وهو طين الدويختة تم الحرق في درجات حرارة عالية و مختلفة وتترواح من 900 – إلى 1300° حيث تحدث تفاعلات كيماوية بين الطين والمادة

الكيماوية المضافة حيث يتكون نتيجة التفاعل المولايتس المسامي والتي تزيد من قابلية هذا النوع من الطابوق على العزل الحراري .

ميزات الطابوق المنتج في هذا البحث هذا هو انخفاض معامل التوصيل الحراري (0.15kcal/m.h.c) مقارنة مع انواع اخرى. المرجع 2 و المرجع 3 هي عبارة عن بحوث قام بها مجموعة من الباحثين في مركز بحوث البناء التابع لوزارة الاسكان حاليا وسابقا الى مجلس البحث العلمي .

### The Abstract :

In this research alight weight insulating brick was produced with high specifications by adding aluminum fluoride {which is available in Iraq} to Dwechla clay. after that the mixture is fired in high different Temperatures reaching 1300 °C. Chemical reaction happens during burning which results sp

onge mullite increasing the thermal insulation of the refractory or the brick. In this research law heat conduction of the insulating brick {0.15 kcal/ m. h. c }was produced.

### المقدمة:

للعوازل الحرارية السيراميكية استعمالات كثيرة منها على سبيل المثال لا الحصر استعمالها لتبطين افران في العديد من الصناعات المختلفة والتي تتطلب درجات حرارية عالية جدا تصل الى اكثر من 1000 ° م مثل افران صهر الزجاج (10) والمعادن كذلك الافران المستعملة في الصناعات البتروكيميائية وكذلك في تبطين المراجل البخارية وابراج تصفيية النفط وفائدة تبطين الافران بهذا النوع من العوازل الحرارية هو حصر الحرارة داخل الفرن والحيولة دون تسربها الى الخارج وكذلك المحافظة على الغلاف الخارجي كما ان تبطين الافران بهذا النوع من العوازل الحرارية يحافظ على حرارة معتدلة وملائمة للعمل في المحيط الخارجي افرن . ويستعمل حوالي 79 % من صناعة الحديد والصلب هذا النوع من الطابوق<sup>[2]</sup>. ان الخواص الفيزيائية والميكانيكية للطابوق النارى الطيني تعتمد على مكونات الطين الكيماوية والمعدنية الجدولان رقم (1) و(2) يوضحان التحاليل الكيماوية لهذا الطين الذي تم الحصول عليه من (منطقة الدويختة محافظة الانبار ) . تزداد قابلية العزل الحراري للمواد السيراميكية عن طريق

تخفيف كثافة المادة وان الطريقة الاكثر استعمالا داخل المادة . وهذه الفراغات او المسامات يجب ان تكون صغيرة الحجم بما فيه الكفاية وذلك لمنع حدوث تيارات حمل حرارية [1] وذلك لقليل قابلية التوصيل الحراري وجعلها واطئة ق ياسا مع المواد الصلبة الاخرى . وكما هو مبين [2]: حيث ان للهواء قابلية توصيل حراري هي  $0.029 \text{ kcal/m.h.C}$  وللطين المحترق الصلب  $0.45 \text{ kcal/m.h.C}$  ، لقد تطرق عدد من الباحثين ومنهم على سبيل المثال الباحث لوکسی [4] الى انتاج مواد عازلة حرارية سيراميكية باضافة مواد غير عضوية الى الطين . وقدمت هذه البحوث نتائج مشجعة وتتيح للآخرين الفرصة في تطوير هذه البحوث. مع امكانية تطبيقها على الاطيان العراقية. علما ان التركيب المعدني والكيماوي للطيان العراقي مختلف عما هو في اطيان البلدان الاخرى والتي اجريت فيها البحوث السابقة .

#### طرق انتاج الطابوق الناري العازل الخفيف :

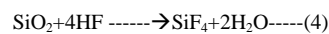
توجد عدة طرق لانتاج هذه الطابوق ولكن اهمها تلك التي تخص هذا البحث هو ما عرضه جي البرت [4] والذي يتضمن انتاج طابوق ناري عازل خفيف طيني وذلك باضافة مركبات الالمنيوم مثل اوكسيد و هيدروكسيد وفلوريد الالمنيوم . ان البحث الحالي يعتمد على تطبيق هذه المفاهيم . ان تفاعل فلوريد الالمنيوم مع السليكا قد صور حسب ما عرضه البرت(5) على الشكل التالي :



في هذا المجال هو تكوين فراغات هوائية او غازية حيث ان الناتج النهائي لمثل هذا التفاعل هو كاؤلين (Kaoline) مع امكانية تحرر غاز  $\text{SiF}_4$  ستاركا وراءه فقاعات غازية تساعد على زيادة المسامية للطابوق المنتج وهناك تصور ثانٍ للتفاعل .

$$3\text{SiO}_2 + 4\text{AlF}_3 \longrightarrow 2\text{Al}_2\text{O}_3 + 3\text{SiF}_4 \quad (2)$$

كما في التفاعل رقم (1) يكون ناتج تفاعل رقم (2) غاز فلوريد السليكون  $\text{SiF}_4$  ايضا معطيا النتيجة نفسها من حيث تر كه فقاعات غازية تساعد على زيادة المسامية الطابوق مع نتيجة نهاية زيادة العزل الحراري للطابوق المنتج . ان مادة فلوريد الالمنيوم مادة متسامية، ان اضافة فلوريد الالمنيوم الى الطين (طين الدويخلة) يكون على الاغلب غاز فلوريد الهيدروجين (HF) او فلوريد السليكون  $\text{SiF}_4$  نتيجة التفاعلات الحاصلة خلال الحرق  $2\text{AlF}_3 + \text{H}_2\text{O} \longrightarrow \text{Al}_2\text{O}_3 + 6\text{HF} \quad (3)$



#### المادة الاولية (Clay)

المادة الاولية المستخدمة في هذا البحث هي اطيان الدويخلة والتي تمتاز باللدونة العالية ، حيث يضاف اليها مادة فلوريد الالمنيوم وكذلك اوكسيد و هيدروكسيد الالمنيوم .

**ملاحظة :** ان مادة فلوريد الالمنيوم متوفرة وتصنع محليا داخل العراق .

#### طريقة العمل والاجهزه المستعملة :

##### 1-العمل :

تم اجراء التجارب على نماذج من اطيان الدويخلة ومواد كيماوية مثل فلوريد واوكسيد و هيدروكسيد الالمنيوم

## 2- تحضير المواد الأولية

تم اجراء عملية التكسير على الطين المستعمل ثم الطحن والغربلة للحصول على طين ناعم باستعمال غربال من نوع (Mesh 60) اما المواد الكيميائية فقد اجريت عليها عمليات طحن وغربلة ثم التجفيف للحصول على عجينة متجانسة عند عمل الطابوق، اما الطين المحروق فقد تم تحضيره بحرق كمية من الطين في فرن كهربائي تصل حرارته الى 1450 ° ولمدة ساعتين.

### 3- تحضير النماذج :

1 - **تحضير العجينة:** تم تحضير العجينة بخلط نسب من الطين المحروق (%25 , %15 , %0) ، مع الطين الغير محروق بنسبة (%35) ثم بعد ذلك تضاف احدى المواد الكيميائية مثل هيدروكسيد الالمنيوم الى الخليط الطيني وبنسبة (%35,%25,%15) واوكسيد الالمنيوم النسب (%) 35 , 25 , 15 ) وفلوريد الالمنيوم بالنسبة ( 15 , 25 , 40 ) واضيف 12% وزنا ماء الى العجينة محسوبا من وزنها الكلي ، حيث اختبرت هذه النسبة من الماء تجريبيا حيث وجد ان الطين المنتج بهذه النسبة يمتاز بدونة جيدة.

2 - **التشكيل:** لغرض تحضير النماذج المختبرية تم اختيار طريقة الكيس ذو الرطوبة الجزئية وذلك لأن الطابوق المنتج بهذه الطريقة يمتاز بمسامية جيدة احسن من الطرق الأخرى وتقلص جاف منخفض وقوة تحمل عالية بالإضافة الى مقاومته للتغيرات الحرارية الفجائية ان العينة الناتجة من جهاز التشكيل اليدوي تكون على شكل اسطواني قطره 32.5 ملم . لقد تم تبني طريقة الكيس ذو الرطوبة

الجزئية وذلك لسهولتها ولتوفر الاجهزة المختبرية (المكبس اليدوي مثل عصارة الفواكه المستعملة في محلات بيع العصائر). 3. **التجفيف :** الماء المخلوط مع الطين الحراري جزء منه يكون طبقة عازلة بين الرقائق ويسمى ماء التقلص ، والجزء الآخر وبكمية قليلة يشغل المسامات الموجودة في الرقائق او الممتدة من قبل سطح الرقائق ويسمى بماء المسامات واثناء عملية التجفيف تتلاصص النماذج نتيجة لخروج الماء اثناء التبخر لقد اثبت جونس [6] بان التقلص ينتهي عندما يخرج كل ماء التقلص وكذلك روبنكيكوف [7] اكد ما ذكره جونس ويعطي المعادلة الآتية :

$\text{Total Water} = \text{Shrinkage Water} + \text{Pores Water}$   
 ان ماء المسامات يتراوح عادة ما بين 1-5% من وزن النموذج الجاف ويتبخر اثناء عملية التسخين وبدرجة 110 ° م، تقلص المواد السيراميكية يتاسب طرديا مع كمية الماء المفقودة كلما كانت اللدونة عالية كلما كانت الرقائق صغيرة الحجم كلما ازدادت كمية ماء التقلص وبالتالي يؤدي الى زيادة تقلص المادة السيراميكية وهذا ما ثبته الباحث بيجو [8] في تجاربه حيث توصل الى علاقة بين التقلص اللدونة ووجود بأنه كلما ازدادت اللدونة ازداد التقلص واعطى لهذه العلاقة المعادلة التالية :

$\text{Plasticity} = (\text{shrinkage water}/\text{total water}) * \text{linear shrinkage}$   
 من هذا المنطق ولتقاضي حساسية الطابوق المكبوس اثناء التجفيف تم اختيار حجم الرقائق ومن ثم التجفيف في درجة حرارة 110 ° ومدة التجفيف هو احد عوامل ثبوت الوزن .

**المرحلة الأولى:**

وضع العينات في الجو الطلق ولمدة 48 ساعة لكي يتم التبخر طبيعياً.

**المرحلة الثانية :**

تجفيف العينات بالتسخين الكهربائي وفي درجة حرارة 60 °C ولمدة 24 ساعة ثم رفع الحرارة لتصل إلى 110 °C ولمدة 24 ساعة أخرى.

**1- الحرق :** عند تسخين الأطيان من الكاولينات (kaolinite) يبدأ بفقدان الماء الميكانيكي والمتبقى بعد التجفيف وكذلك ماء التبلور ، الباحث راشيفسكي<sup>[9]</sup> لاحظ بأن أكبر كمية من الماء المفقود (ماء التبلور) تم ما بين 500-600 °C وان فقدان الماء يؤدي إلى ظهور التقلص والذي يبدأ في درجة حرارة 500 °C ويتهي في درجة حرارة 800 °C وكما موضح في الشكل رقم (1) . وفي هذا البحث تم الحرق في فرن كهربائي وفي درجات حرارية مختلفة تتراوح من 900 إلى 1300 °C .

**الفحوصات**

تم اجراء الفحوصات المختبرية على الطابوق المنتج في هذا البحث لغرض مقارنة خواصه مع المواصفات العالمية التي حددت خواص الطابوق الناري الخفيف ، حيث تتراوح الكثافة من 600 إلى 1600 كغم / م<sup>3</sup> مسامية 25 إلى 70 % والتحمل من 20 إلى 25 كغم / سم<sup>2</sup>.

**1 فحص الكثافة الكلية**

توزن العينة وهي جافة ومن ثم تغطس في الماء المغلي ولمدة ربع ساعة وبعد ذلك يحسب وزن العينة المشبعة بالماء وكالاتي :

الكثافة الكلية = وزن النموذج الجاف بعد الحرق / وزن النموذج المشبوع بالماء - وزن النموذج بالماء غم 1 سم<sup>3</sup> . الرسم (2) يمثل نتائج هذا البحث .

**2- فحص امتصاص الماء :**

تم تحديد نسبة الماء الممتص من قبل النموذج كالاتي :

نسبة امتصاص الماء = وزن النموذج المشبوع بالماء - وزن النموذج الجاف / وزن النموذج الجاف \* 100<sup>\*</sup>

**3- فحص قوة التحمل :**

لعرض قياس قوة تحمل الطابوق الخفيف تم ايجاد المساحة السطحية للعينات وثم تسلیط ضغط على العينات بواسطة جهاز ضغط هیدروليکي يدوي حتى الانكسار الذي يحدث في العينة : قوة التحمل = الحمل / المساحة السطحية كغم اسم<sup>2</sup> [2].

**4- فحص التوصيل الحراري :**

تم ايجاد التوصيل الحراري لجميع النماذج وفي درجات حرارية مختلفة باستعمال الرسم رقم (4)

**5- سعة الخزن الحراري :**

تم قياس سعة الخزن الحراري للطابوق الخفيف في هذا البحث باستعمال العلاقة التالية<sup>[1]</sup>:

$$\text{Heat capacity} = \sum_{i=1}^n Y_i X_i C_i$$

النسبة الوزنية =  $Y_i$

الكثافة =  $X_i$

السعنة الحرارية =  $C_i$  [2]

Where X = Bulk density kg / m<sup>3</sup>

C = Specific heat = 0.2 kcal / kg.C

## **6 فحص المسامية :**

المسامية = وزن النموذج المشبع بالماء - وزن النموذج الجاف ١ وزن النموذج المشبع بالماء - وزن النموذج بالماء \* 100 مع الاخذ بنظر الاعتبار ان بعض مادة فلوريد الالمنيوم يذوب بالماء مما يزيد من مسامية المادة .

## **7 فحص اللدونة :**

تم قياس لدونة الطين المستعمل حسب طريقة (pfeffer) وتم العملية بأعداد خمس نماذج اسطوانية الشكل مع خلط الطين الجاف مع كميات مختلفة من الماء بواسطة قالب له طول قياسي مقداره 40 ملم مرفق مع الجهاز وتوضع النماذج في قاعدة الجهاز ويسلط عليها ثقل مقداره 1192 غم ويقاس طول النموذج بعد تسليط الضغط وفي نفس الوقت تؤخذ كمية من كل عينة توضع في جفنة ويقاس وزنها الرطب وتجفف بعد ذلك حتى ثبات وزن العينة ومن ثم قياس وزنها الجاف :

$a = h_0 / h_1$  where  $h_0$ = height of the sample before loading mm And  $h_1$  = height of the sample after loading

$$W\% = (G_1 - G_2 / G_1) * 100$$

Where W = water content

G1 = weight of the moist sample in gm

$G_2$  = weight of the dried sample in gm

الشكل البياني رقم (6) يمثل نتائج هذه التجربة بالنسبة للطين المحروق وغير المحروق.

**8 فحص انتشار الحرارة** لغرض ايجاد مدى انتشار الحرارة في الطابوق الخيفي المنتج في هذا البحث فقد استعملت العلاقة التالية<sup>[1]</sup>

Thermal Diffusivity = Thermal conductivity / heat storage capacity in m<sup>2</sup> / h  
While thermal conductivity in kcal / h.m.c

## **الاستنتاجات :**

**1 - الكثافة :** تم الحصول على طابوق ذو كثافة واطئة تصل إلى 67.9. غم 1 سم<sup>3</sup> نتيجة اضافة مادة فلوريد الالمنيوم(50%) الى المادة الاولية والحرق لدرجة حرارة 1200 م° كما في الجدول رقم (5) وان هذه النتيجة التي تم الحصول عليها في هذا البحث هي ضمن المعايير العالمية للطابوق الناري الخيفي حيث تتراوح الكثافة من 6.9. إلى 1.6 غم 1 سم<sup>3</sup><sup>[2]</sup>. ان احسن نتائج تم الحصول عليها هي اضافة مادة فلوريد الالمنيوم الى الطين وحرقها بدرجة حرارة 1200 م° .

**2 - المسامية :** في هذا البحث تم الحصول على مسامية للطابوق تتراوح من 13,8 الى 66,5% ومن الشكل رقم (3) يتضح ان المسامية تزداد مع ازدياد الحرارة للحرق ولكن هذه العلاقة تبقى الى درجة حرارة 1200 م° حيث بعد ذلك تنخفض المسامية كما ارتفعت درجة الحرارة اكثر من 1200 م° كما في الجدول رقم (3) والسبب في ذلك يعود الى انصهار حبيبات الطين في الحرارات العالية جدا وبالتالي امتلاء المسامات بتلك المنصهرات

**3 - قوة التحمل :** ان الشكل رقم (4) يبين العلاقة بين حرارة

الحرق للنماذج وقوة تحملها ، حيث يتضح من الشكل (4)

انه في زيادة الحرارة تزداد قوة التحمل ولكن لغاية حرارة

1000 م° حيث بعد ذلك تبدأ بالنزول كما في الجدول رقم

(5) و(4). بسبب الانصهار وامتلاء المسامات بالمنصهر .

**4 - التوصيل الحراري :** من الشكل رقم (5) فان قابلية

التوصيل الحراري تزداد بازدياد الكثافة الكلية ( Bulk

) للطابوق الناري الخفيف حيث كلما استطعنا

خفض كثافة الطابوق المنتج كلما قلت قابلية التوصيل

الحراري أي زيادة العزل الحراري للطابوق الناري

الخفيف المنتج في هذا البحث . ومن الجدول رقم (9) يتضح

انه ادنى قيمة يمكن الحصول عليها هي ( 0, 15 ) وفي

حرارة 1200 م° ومن اضافة مادة فلوريد الالمنيوم .

وبالمقارنة مع المواد الاخرى كما في الجداول

(6) و(7) و(8) (وجود طين محترق مع الخليط) .

**5 - سعة الخزن الحراري :** ومن الجدول (10) نلاحظ بان

الطابوق الناري الطيني المنتج في هذا البحث له قابلية عزل

حراري احسن من المواد الاخرى [1]

**6 - اللدونة :** من الشكل رقم (6) يتضح ان احسن نسبة للماء

المضاف يمكن الحصول عليها عندما تكون  $a = 3.3$

ولكن عموما اذا كانت  $a$  تتراوح من 2,5 الى 4 تكون

العجينة سهلة التشكيل ، في الشكل (6) الخط المستقيم رقم

(1) يمثل الطين غير المحروق الذي يمتاز باللدونة العالية

ولكن هذه اللدونة تنخفض باضافة الطين المحروق كما هو

موضح في الخط المستقيم رقم (2) شكل (6) وهذا يعني

سهولة تشكيل العجينة . حيث ( a ) معرفة سابقا في

الصفحة رقم (5) من هذا البحث .

**Table (1) : - Chemical analysis of Dewechla clay**

Material	%	Indicated limits for suitable fire clays
Al <sub>2</sub> O <sub>3</sub>	37	
SiO <sub>2</sub>	57.8	
TiO <sub>2</sub>	1.6	Up to 4%
Fe <sub>2</sub> O <sub>3</sub>	1.45	Not more than 2.5%
CaO	0.7	Not more than 1%
K <sub>2</sub> O	0.4	Not more than 3%

**Table (2) :Mixture of clay and Al<sub>2</sub>O<sub>3</sub>**

Firing Temp C.	Content of clay %	Content of burning clay %	Content of Al <sub>2</sub> O <sub>3</sub> %	Bulk density	Porosity %	Water absorption %	Compressive strength kg/cm <sup>2</sup>
900	50	15	35	1.3	49.95	38.4	-
	50	25	25	1.34	46.88	34.94	-
	50	35	15	1.37	44	32	-
1000	50	15	35	1.24	50.1	40.55	-
	50	25	25	1.33	48.7	36.66	-
	50	35	15	1.3	49.95	38.4	-
1100	50	15	35	1.23	47	38	-
	50	25	25	1.27	44.6	35	-
	50	35	15	1.32	43.4	32.78	18.4
1200	50	15	35	1.24	49.8	40	
	50	25	25	1.25	47.7	38	1.22
	50	35	15	1.37	47	34	6.14
1250	50	15	35	1.4	47	33.8	0.737
	50	25	25	1.44	44.4	30.8	2.22
	50	35	15	1.43	40	28	9.2

**Table (3) :Mixture of clay and Al(OH)<sub>3</sub>**

Firing Temp C.	Content of clay %	Content of burning clay %	Content of Al(OH) <sub>3</sub> %	Bulk density	Porosity %	Water absorption %	Compressive strength kg/cm <sup>2</sup>
900	50	15	35	-	-	-	-
	50	25	25	-	-	-	-
	50	35	15	1.462	41.7	28.5	-
1000	50	15	35	-	-	-	-
	50	25	25	-	-	-	-
	50	35	15	1.36	49	35.98	-
1100	50	15	35	-	-	-	-
	50	25	25	1.3	46.79	35.92	12.28
	50	35	15	-	-	-	-
1200	50	15	35	1.33	50.7	37.9	1.2
	50	25	25	1.34	47.73	35.52	2.4
	50	35	15	1.34	43	32	0.6
1300	50	15	35	1.2	44	37.4	2.4
	50	25	25	2.2	13.8	6.2	0.7
	50	35	15	1.4	38.8	27.9	0.4

**Table (4) :Mixture of clay and AlF3**

Firing Temp C.	Content of clay %	Content of burning clay %	Content of Al(F)3 %	Bulk density	Porosity %	Water absorption %	Compressive strength kg/cm2
900	50	15	35	1.05	60	56.7	12.28
	50	25	25	1.22	53	43.4	18.43
	50	35	15	1.4	46	33.3	18.43
1000	50	15	35	0.97	62.6	64.6	36.86
	50	25	25	1.14	53.5	46.97	61.44
	50	35	15	1.35	46.9	34.46	63.9
1100	50	15	35	0.89	60.37	67.36	33.8
	50	25	25	1.1	53.3	48.7	43
	50	35	15	1.27	46.5	36	49
1200	50	15	35	0.933	63	67	32
1200	50	15	35	1.15	55	47.68	64.5
	50	25	25	1.4	50.32	36	43
1250	50	15	35	1.13	55.2	48.8	22.1
	50	25	25	1.37	46.3	33.64	43
	50	35	15	1.4	36	25.73	43

**Table (5): Mixture of clay and AlF3**

Firing Temp C.	Content of clay %	Content of burning clay %	Content of Al(F)3 %	Bulk density	Porosity %	Water absorption %	Compressive strength kg/cm2
900	60	---	40	1.01	60	59	30.7
	50	---	50	0.9	66.5	74	18.4
1000	60	---	40	0.84	64.3	76	55.3
	50	---	50	0.69	63.7	92.3	24.5
1100	60	---	40	0.88	63.3	71.2	37.8
	50	---	50	0.83	66	79	14.7
1200	60	---	40	0.83	62.8	75.3	30.8
	50	---	50	0.67	62.5	92.8	30.7
1250	60	---	40	0.96	58.3	60.5	32
	50	---	50	0.83	63.4	76.3	18.4

**Table 6 : Thermal properties of Al<sub>2</sub>O<sub>3</sub> mixture**

Firing Temp. C	Content of clay	Content of burning clay %	Content of Al <sub>2</sub> O <sub>3</sub>	Thermal conductivity kcal/mhc	Heat storage capacity kcal/c.m3	Heat diffusivity m <sup>2</sup> /h
900	50	15	35	0.326	260	0.00125
	50	25	25	0.34	268	0.00126
	50	35	15	0.35	274	0.00126
1000	50	15	35	0.32	248	0.00129
	50	25	25	0.345	256	0.001297
	50	35	15	0.36	280	0.001285
1100	50	15	35	0.31	246	0.00126
	50	25	25	0.325	254	0.001279
	50	35	15	0.333	264	0.001261
1200	50	15	35	0.33	248	0.00129
	50	25	25	0.322	250	0.001288
	50	35	15	0.35	274	0.00127
1250	50	15	35	0.36	280	0.001285
	50	25	25	0.367	288	0.001274
	50	35	15	0.366	286	0.001279

**Table 7 : Thermal properties of Al(OH)3 mixture**

Firing Temp. C	Content of clay %	Content of burning clay	Content of Al(OH)3 %	Thermal conductivity kcal/m.h.c	Heat storage capacity kcal/c.m3	Heat diffusivity m2/h
900	50	15	35	----	---	---
	50	25	25	----	---	---
	50	35	15	0.38	292.4	0.00129
1000	50	15	35	---	---	---
	50	25	25	---	---	---
	50	35	15	0.348	272	0.001279
1100	50	15	35	---	---	---
	50	25	25	0.326	260	0.001253
	50	35	15	---	---	---
1200	50	15	35	0.345	266	0.001297
	50	25	25	0.3459	268	0.00129
	50	35	15	0.3459	268	0.00129
1300	50	15	35	0.3057	240	0.001273
	50	25	25	----	---	---
	50	35	15	0.36	280	0.001285

**Table 8: Thermal properties of AlF3 mixture**

Firing Temp. C	Content of clay %	Content of burning clay	Content of AlF3 %	Thermal conductivity kcal/m.h.c	Heat storage capacity kcal/c.m3	Heat diffusivity m2/h
900	50	15	35	0.235	194	0.001283
	50	25	25	0.285	228	0.00125
	50	35	15	0.3425	270	0.001268
1000	50	15	35	0.255	210	0.001214
	50	25	25	0.308	244	0.001262
	50	35	15	0.36	280	0.001285
1100	50	15	35	0.22	179.2	0.001227
	50	25	25	0.275	220	0.00125
	50	35	15	0.325	254	0.001279
1200	50	15	35	0.225	186.6	0.001205
	50	25	25	0.295	230	0.001282
	50	35	15	0.36	280	0.001285
1300	50	15	35	0.285	226	0.001261
	50	25	25	0.35	274	0.001277
	50	35	15	0.36	280	0.001285

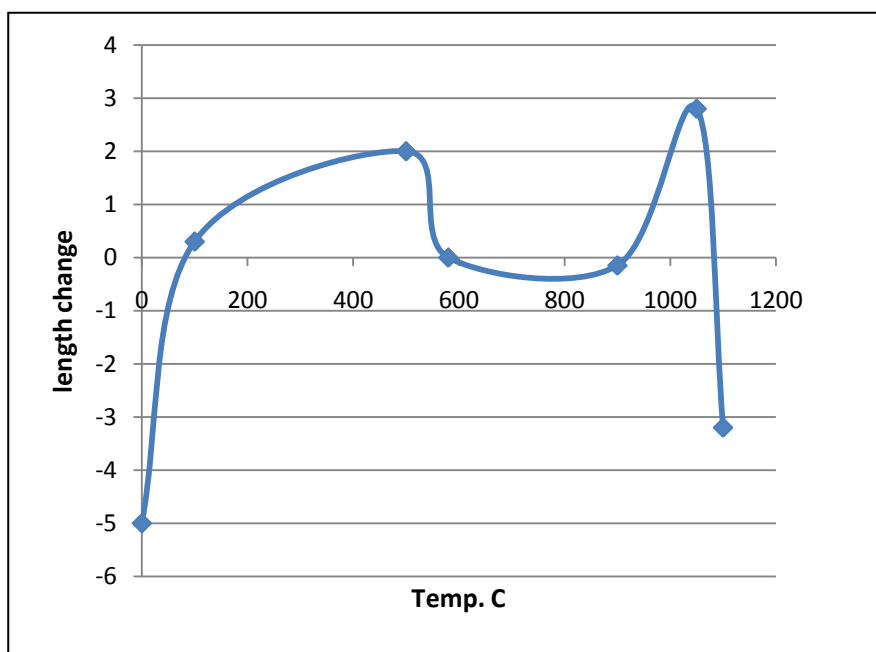
**Table 9: Thermal properties of AlF<sub>3</sub> mixture without burning clay**

Firing Temp. C	Content of clay %	Content of burning clay	Content of AlF <sub>3</sub> %	Thermal conductivity kcal/m.h.c	Heat storage capacity kcal/c.m <sup>3</sup>	Heat diffusivity m <sup>2</sup> /h
900	60		40	0.25		
	50		50	0.221		
1000	60		40	0.195		
	50		50	0.1575		
1100	60		40	0.215		
	50		50	0.2		
1200	60		40	0.2		
	50		50	0.15		
	50					
1250	60		40	0.1573		
	50		50	0.2		

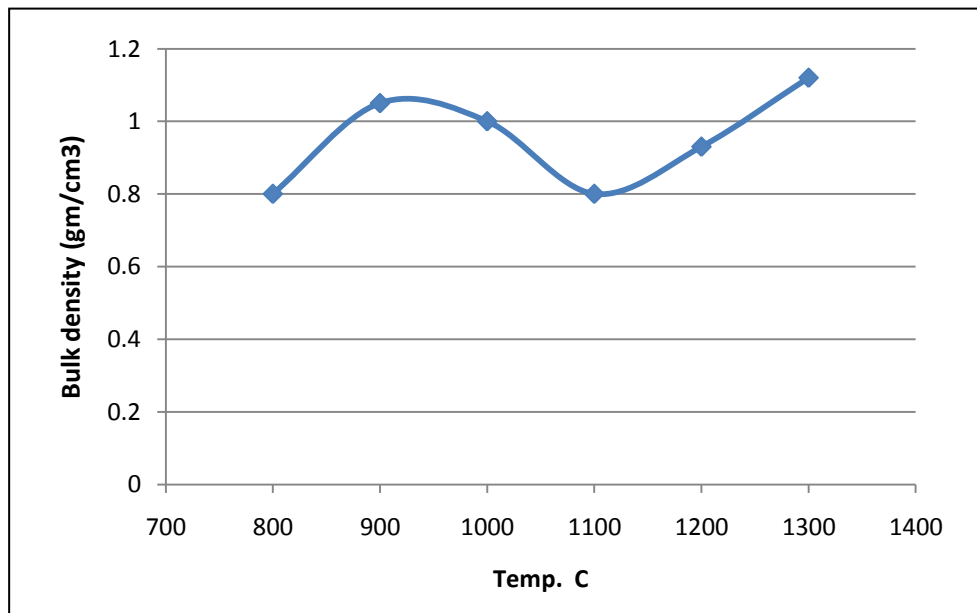
**Table 10: Specifications of some building materials**

Material	Bulk density kg/m <sup>3</sup>	Specific heat kcal/m.h.c	Thermal conductivity kcal/m.h.c	Heat storage capacity kcal/c.m <sup>3</sup>	Heat diffusivity m <sup>2</sup> /h
Light weight refractory	670	0.2	0.15	134	0.0011194
Light weight brick	900	0.2	0.32	180	0.00122
Heavy brick	1500	0.2	0.5	300	0.00167
Thermostone	800	0.22	0.23	176	0.00131
Heavy concrete	2300	0.2	1.75	460	0.0038
Styropore	20	0.33	0.03	6.6	0.00455

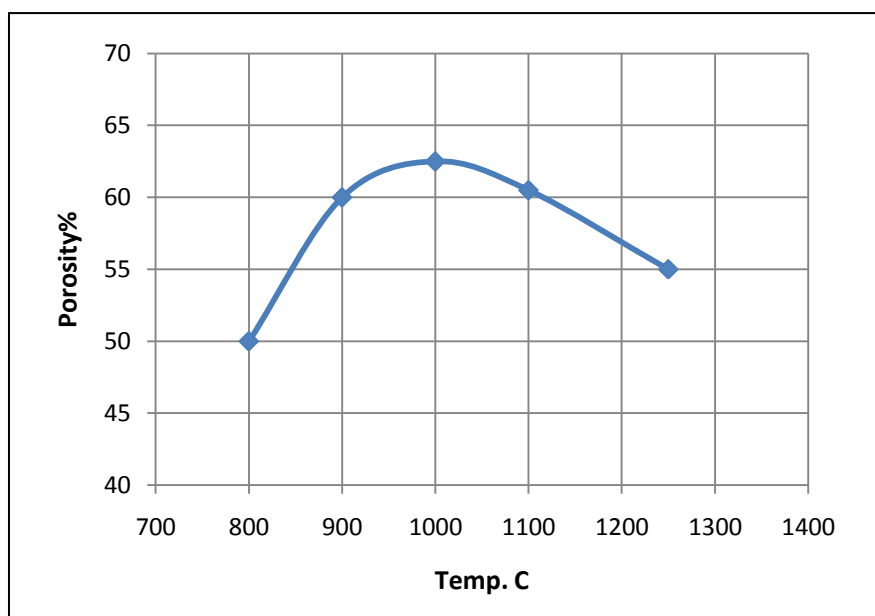
0	-5
100	0.3
500	2
580	0
900	-0.15
1050	2.8
1100	-3.2

**Fig. 1: relationship between length change % and temperature**

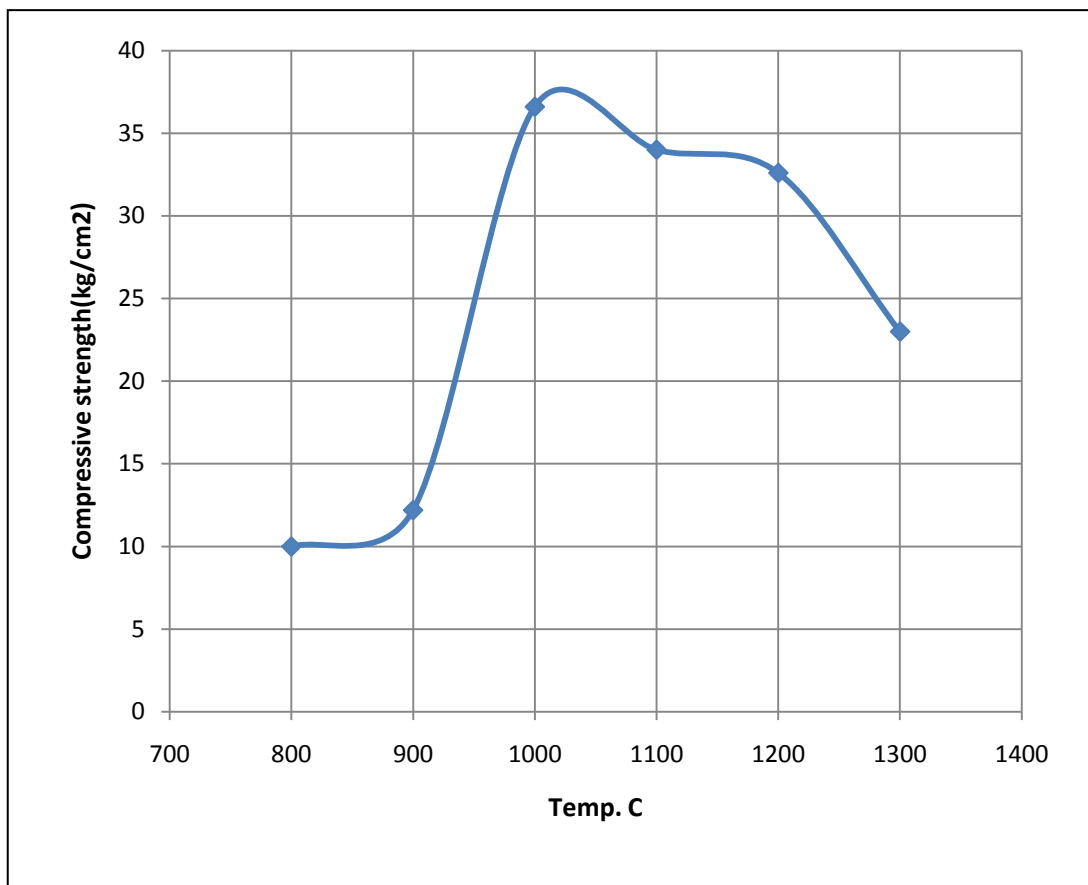
800	0.8
900	1.05
1000	1
1100	0.8
1200	0.93
1300	1.12

**Fig .2: relationship between bulk density temperature**

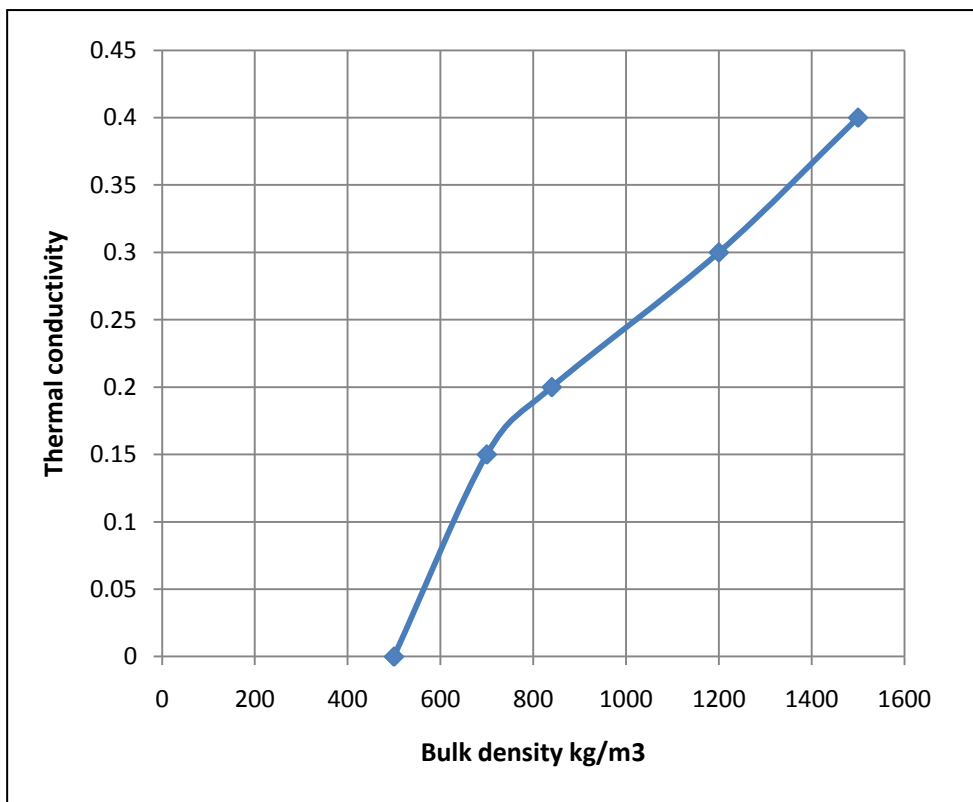
800	50
900	60
1000	62.5
1100	60.5
1250	55

**Fig.3: relationship between Porosity % temperature**

800	10
900	12.2
1000	36.6
1100	34
1200	32.6
1300	23

**Fig.4: relationship between Compressive strength kg/cm<sup>2</sup> temperature**

500	0
700	0.15
840	0.2
1200	0.3
1500	0.4

**Fig.5: Correlation graph for light weight refractory**

0	20	16
1.8	24	
2		17
3	27	18
4.5		21
6	36	25
7	38	
7.6		30

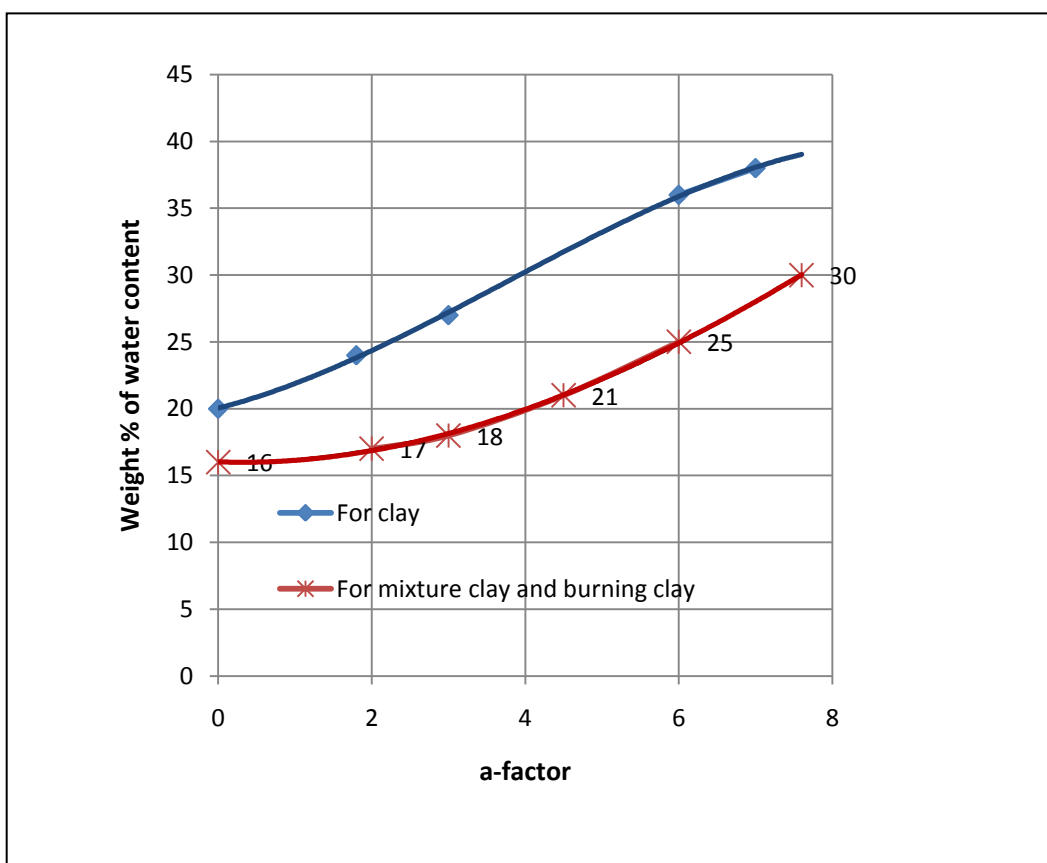


Fig.6: relationship between weight % of water content and a- factor



الاسم : عبدالكريم دهش عفات الزبيدي

العنوان الوظيفي : استاذ مساعد

موقع العمل : استاذ في كلية الهندسة / جامعة النهرین – بغداد

التحصيل الدراسي : ماجستير هندسة كيماوي (وحدات صناعية) في الجامعة التكنولوجيا

بغداد/1983